

EFFECTOS RESONANTES DE LA CONDUCTANCIA EN LA HOMEOPATÍA

AUTOR: DWAYNE WILKINSON
ACADEMIA DE BIOTECONOLOGÍA CUÁNTICA APLICADA
1991, DENVER, COLORADO

ABSTRACTO:

En nuestro trabajo de control de calidad cuántico, propusimos que la homeopatía tiene una estructura polimórfica impresa en la mezcla de agua y alcohol. Debería haber una conformidad compuesta en el componente de hidrógeno del agua, misma que se mediría como la capacidad de enlace del protón. Para imponer este campo polimórfico en la mezcla, un campo eléctrico debe ser coherente y controlar los campos estáticos, magnéticos y de conductancia.

En nuestro experimento buscábamos encontrar los puntos de conductancia y resonancia de muchos homeopáticos. Para lograrlo, se utilizó un generador de señal para enviar formas de ondas idénticas a través de un homeopático y un control. Se empleó un osciloscopio para medir la forma de onda que provenía de cada sustancia. Al variar la frecuencia de forma de onda, observamos frecuencias donde hay humedad de la forma de onda. También se percibió que a ciertas frecuencias el homeopático podía humedecer por completo o parcialmente a la forma de onda, en comparación con el control.

ANTECEDENTES:

El concepto de peculiaridades de frecuencia científica de la homeopatía y del cuerpo, está lleno de leyendas, malos entendidos y muy poca ciencia. Gran parte de lo anterior encuentra su explicación en la medicina alternativa. La medicina de vibración o frecuencia necesita validación científica, la cual es la intención de este artículo. Este escrito es un intento por producir una réplica al trabajo de resonancia eléctrica original del Dr. Nelson hecha en Ohio en 1982.

La homeopatía es una tecnología médica de doscientos años de edad. En la actualidad millones de pacientes que buscan medicamentos naturales y alternativas más seguras que la medicina sintética, la utilizan en todo el mundo. (ref. H.P.U.S., 1989).

Parte de la hipótesis de la homeopatía a una alta dilución, es un campo energético en el homeopático que propaga una estructura de forma estable en la estructura de clatrato de agua y de alcohol. En efecto, nuestra investigación ha establecido algunos de los factores clave en este campo. Una de nuestras suposiciones es que este campo debe tener una firma eléctrica. Esta firma debe poseer capacidad conductiva, capacidad magnética y capacidad estática. Esas capacidades deben poder producir efectos resonantes en las formas de onda electromagnéticas aplicadas de manera exterior. (ref. Biología Cuántica, 1987).

El agua es una sustancia muy peculiar. No es un líquido verdadero, sino un cristal líquido. El agua puede tomar un sin fin de formas. (ref. Popp). Como un ejemplo podemos mencionar al copo de nieve-con miles de millones de formas que el agua puede lograr. El agua puede conservar valores eléctricos y tener una memoria de forma. (ref. Control de Calidad Cuántica, 1990).

Un campo electromagnético limitado puede ser impuesto en el agua y en el alcohol mediante el proceso de succusión homeopática. (ref. Medicina Vibracional Cuántica, 1990). Este campo limitado debería tener una firma eléctrica que poseería efectos de humedad o de antiresonancia en los campos aplicados de manera externa. (ref. Smith).

Cuando una forma de onda corre a través de un medio líquido, el medio puede tener tres efectos básicos: #1. Primero no mostrar efecto, sólo conductividad, inductividad, o capacitancia. #2. El medio puede resonar y potenciar la forma de onda. #3. El medio puede absorber la forma de onda o humedecerla. (ref. Adey). En este estudio nosotros analizaremos los efectos de varias frecuencias sobre la combinación del control, alcohol y agua en contraposición a varias soluciones homeopáticas.

EQUIPO:

Los homeopáticos y los controles utilizados en este estudio fueron fabricados en Denver, Colorado por los laboratorios New Vistas (la cual es una empresa fabricante de farmacéuticos que está registrada a nivel estatal y federal). La solución control procedió del mismo alcohol y agua que se utilizó en los homeopáticos. Los homeopáticos empleados se elaboraron con un proceso patentado. (ref. Patente irlandesa en fabricación homeopática, 1991).

El generador de señal utilizado es un mecanismo estándar de función que produce frecuencias desde 1 hertz hasta 300 megahertz. Las funciones de onda cuadrada y onda sinodal se evaluaron sin presentar diferencias aparentes, razón por la cual se escogió la onda sinodal para este estudio. La amplitud se estableció a un voltio.

Se utilizó un osciloscopio Jackson para monitorear la información de salida. La frecuencia se modificó de 0 a 300 megahertz a mano, a intervalos de 225 hertz. Tanto en el homeopático como en el control, cada cambio fue observado en lo que respecta a la potenciación o amortiguación de la señal. Se notaron diferencias y se llevó a cabo entonces un análisis profundo para aislar las diferencias individuales. En este experimento, las sustancias se colocaron en cajas de Petri circulares de 3 pulgadas y se insertaron cables inoxidables (20 medidores) de acero a 2.5 pulgadas de separación. La frecuencia que transportaba corriente corrió a través de cada caja de Petri en la misma dirección para así minimizar las diferencias magnéticas. (ver figura 1).

El equipo fue considerablemente susceptible. El estudio se llevó a cabo en una habitación libre de estática y con un control libre de humedad y de atmósfera. Los homeopáticos de control fueron cambiados con cada nuevo test. Las cajas de Petri y los electrodos fueron esterilizados con cada nuevo test también. (ref. Patente irlandesa del equipo de trivector, 1991).

MÉTODO:

El control y el homeopático fueron colocados en las cajas de Petri respectivas. El generador de señal se estableció en 0 hertz. Los primeros 50 hertz se leyeron por separado; posteriormente se utilizaron intervalos de 225 hertz para minimizar el tiempo. Si se daba una posible reacción, entonces las bandas se volvían a evaluar en lo relativo a las diferencias individuales de frecuencia. Nuestro primer test fue de potencias mezcladas, tales como 16x, 24x, 60x, 100x, 500x. Los cambios magnéticos resonantes en la potencia fueron percibidos en el test de inducción magnética. Sin embargo, se apreciaron pocas modificaciones en las pruebas de conducción. Este informe se refiere a la evaluación de conducción, por lo que se utilizan potencias mezcladas. (ref. resonancia magnética de los homeopáticos, 1991).

La figura #1 se obtiene del diseño original del patente del trivector del Dr. Nelson. La figura 2 muestra las formas de onda con aspectos de amortiguación. Todas las sustancias fueron evaluadas tres veces para que hubiese una consistencia. Solamente se elabora un informe acerca de resultados consistentes.

RESULTADOS:

Hubo muy pocas amplificaciones de la forma de onda percibida. Ninguna de ellas se ubicó más allá del 10% de la amplitud total. También se observó una sutil amortiguación, pero sólo los valores de amortiguación superiores a 50% de la amplitud se consideraron como significativos para presentarse en este documento. Ahora presentamos algunos resultados de los homeopáticos y de las frecuencias de la amortiguación de la señal. En teoría, se puede decir que estas secuencias son absorbidas por los homeopáticos en cierto proceso de amortiguación resonante. La tabla #1 muestra nuestros resultados. Algunos resultados de las puntuaciones parciales se redondean para demostrar las áreas de amortiguación.

Se intentaron usar píldoras homeopáticas pero no hubo muestras de que dieran resultado. El alcohol puro o el agua pura dieron resultados inestables y no repetibles. En este estudio se utilizó alcohol al 15% y produjo resultados estables y predecibles. Se observó de manera breve cierta potenciación de las formas de onda; sin embargo, éstas fueron inestables y transitorias. Es probable que esto se deba a la falta de potencia interna en el medio. Estos resultados no se presentan en este estudio pero serán tema de una investigación futura. La evaluación de remedios duplicados o impresos no mostró resultados concluyentes o estables. Las pruebas con tales productos no mostraron diferencias mensurables en relación con el control.

Se reportaron los resultados del efecto de amortiguación. La tabla de resultados muestra la amortiguación significativa de más del 50% o la amortiguación total que mostró antiresonancia. Nuestro equipo se limitó a 300 megahertz e inferior. Otros investigadores han notado y predicho los efectos de gigahertz también. En resumen, podemos decir que habrá ecos armónicos a frecuencias más altas. (ref. Del Gudice).

DISCUSIÓN:

Parece ser que los homeopáticos específicos pueden marcar una firma electrónica dentro de un campo limitado de una mezcla de agua y alcohol. Es probable que sólo los homeopáticos preparados adecuadamente produzcan resultados consistentes. El homeopático entonces parece tener efectos específicos de humedad o tendencias de absorción en ciertas frecuencias de un campo aplicado de manera externa. Lo anterior es consistente con la teoría de la firma del trivector. La existencia de la antiresonancia en cristales está bien documentada en la bibliografía piezoeléctrica. (ref. Piezoelectricidad, 1946). Se presentarán informes acerca de otros experimentos referentes al magnetismo, a la capacitancia y a la resonancia.

La existencia de amortiguación total parece ocurrir a frecuencias resonantes que están de acuerdo con los valores predichos a partir de la capacitancia y la inductancia. En la actualidad, las frecuencias menores de la amortiguación parcial tan sólo se pueden explicar como cualidades conformacionales de la estructura polimórfica.

La falta de resonancia positiva continua se podría atribuir a la falta de rigidez del cristal líquido. La estructura de un cristal sólido podría ser necesaria para la resonancia continua. El cristal líquido del agua definitivamente puede ser un apoyo para la antiresonancia, tal y como se ve en nuestros resultados.

En conclusión, este estudio refuerza la teoría del trivector del Dr. Nelson y la teoría de la firma electrónica de la homeopatía.

TABLA #1.

Homeopáticos	10-15% Humedad	Humedad Total de la Señal
podophylum	60 hz, 305 hz, 223 khz	130 mhz
pulsatilla	110 hz, 500 hz, 999 hz	125 mhz
lycopodium	12 hz, 668 hz	115 mhz
sulphur	5 khz, 10 khz	95 mhz
nat mur	5 khz, 12 khz	85 mhz
phosphorous	30 hz, 8 khz	99 mhz
arsenicum alb	53 hz, 6 khz	107 mhz
arnica	555 hz,	128 mhz
belladonna	75 hz, 9 khz	81 mhz
NOSODES		
streptococcus	27 khz	187 mhz
staphococcus	-----	185 mhz
BAC	555 hz	185 mhz
candida alb	-----	175 mhz
cryptococcus	-----	172 mhz
aspergillus	-----	170 mhz
FNG	5 khz	173 mhz
herpes sim 1	-----	201 mhz
CMV	39 khz	212 mhz
influenza	-----	210 mhz
VIR	-----	205 mhz
epstein barr	10 khz	210 mhz
amebex	12 hz, 60 hz, 120 hz, 980 khz. 2 khz	100 mhz
metex	25 khz	3 mhz
chemex	-----	10 mhz
algin	1 khz	150 mhz
envirox	-----	10 mhz
asbestox	60 hz	12 mhz

MISC.

ALO

adrenal liq

400 hz

12 hz, 30 hz, 100 hz, 550 hz, 10 khz, 12 khz

55 mhz

75 mhz

----- = NO CONCLUSIVE EFFECTS

..... = *Resultados no concluyentes

BIBLIOGRAFÍA

Adez W. Tissue interaction with nonionizing electromagnetic fields (1981). (*Interacción del Tejido con Campos electromagnéticos no ionizantes*) *Physiol. Ref.* 61:435

Cady W.G. (1946) Piezoelectricity, An introduction to the theory and application of electromechanical phenomena in crystals, (*Introducción a la Teoría y Aplicación del Fenómeno Electromecánico en los Cristales*) McGraw-Hill N.Y.

Eckert M., Zundel G. (1987). Proton polarizability, dipole moment, and proton transitions of an AH...B = A...HB proton-transfer hydrogen bond as a function of an external electrical field: an ab initio SCF treatment. (*Polarización protónica, momento dipolar y transiciones protónicas de un AH...B= A...HB enlace de hidrógeno de la transferencia protónica como función de un campo eléctrico externo*) *J. Phys. Chem.* 91:P.5170-5177

H.P.U.S. 1989, Homeopathic Pharmacopeia of the United States. (*Farmacopea Homeopática de los Estados Unidos*)

Patentes Irlandesas del Dr. Nelson, 1991, 1992, 1993

Nelson W.C. (1982) An Advanced Treatise in Quantum Biology, Quantum Vibrational Medicine, Quantum Quality Control. (*Tratado Avanzado en Biología Cuántica, Medicina Vibracional Cuántica y Control de Calidad Cuántico*) Academy Press, Rio Rancho, NM. E.U.A.

Nintze R.C. (1991) Magnetic Resonance in Homeopathy. (*Resonancia Magnética en la Homeopatía*) Academy Press, Rio Rancho, NM, USA.

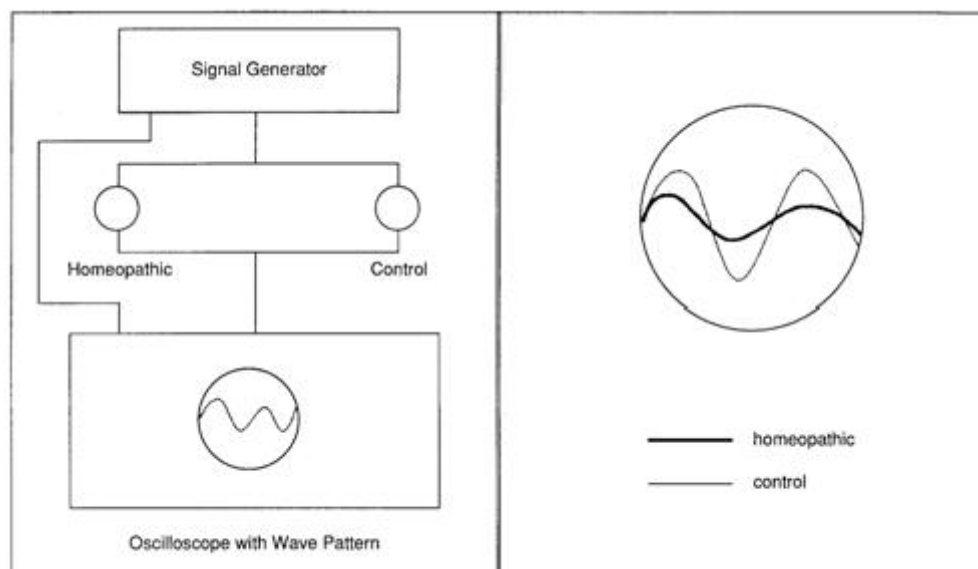
Popp E (1989). Coherent photon storage of biological systems in Electromagnetic bioinformation. (*Almacenamiento Fotónico Coherente de los Sistemas Biológicos en la Bioinformación Electromagnética*) ed. By Fritz-Albert Popp, Munich-Wien-Baltimore, 144-167.

Smith C., Best S. (1990). Electromagnetic Man, (*El Hombre Electromagnético*) ed. By J. M. Dent & Sons Ltd, Londres, P.26.

Janoschek R., Widemann E., Zundel G. (1973) Calculated frequencies and intensities associated with coupling of the proton motion with the hydrogen bond stretching vibration in a double minimum potential surface. (*Frecuencias Calculadas e Intensidades asociadas con el Cople de la Motilidad Protónica con el enlace de Hidrógeno de la Vibración Extendida en una Superficie Potencial Mínima Doble*) *J. Chem. Soc. Farady Trans. II.* 4: 505-520.

Lamanna R., Delmelle M. Cannistaro S. (1990) A near infrared study of hydrogen bonding in human albumin aqueous solutions. (*Estudio Infrarrojo Cercano del Enlace de Hidrógeno en Soluciones de Albumina Aqueous Humana*) *Chem. Phys. Lett.* 172:1371

Figura 1.



Generador de señal
Homeopático
Control
Osciloscopio con Patrón de Onda
Homeopático
Control